

## تحلیل ساختاری تاقدیس سیاه شمالی، کمربند چین - راندگی زاگرس

دلشاد نوروزی<sup>۱\*</sup>، عباس بحروفی<sup>۲</sup>، محمدرضا قاسمی<sup>۳</sup>، حمیدرضا کریم‌نژاد<sup>۴</sup>

۱- دانشجوی کارشناسی ارشد تکتونیک، سازمان زمین شناسی و اکتشافات معدنی کشور

۲- استادیار دانشکده مهندسی معدن پردیس دانشکده فنی، دانشگاه تهران

۳- استادیار پژوهشکده علوم زمین، سازمان زمین شناسی و اکتشافات معدنی کشور

۴- کارشناس ارشد تکتونیک، مدیریت اکتشاف شرکت ملی نفت ایران

پذیرش مقاله: ۱۳۹۰/۱۲/۱۸

تأیید نهایی مقاله: ۱۳۹۱/۲/۸

### چکیده

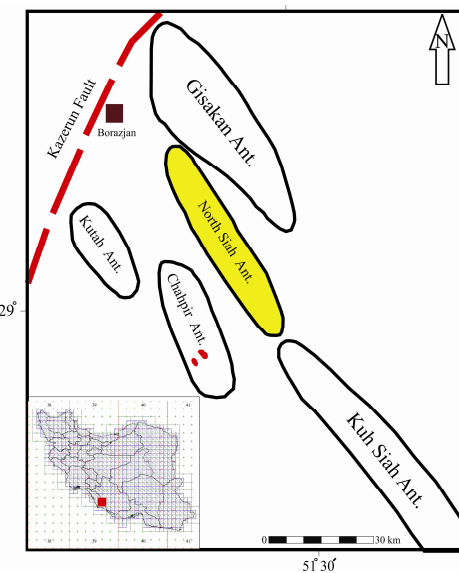
تاقدیس سیاه شمالی با روند شمال باختری-جنوب خاوری در کمربند چین-راندگی زاگرس (فارس ساحلی) و در خاور گسل کازرون واقع شده است. در این مطالعه تاقدیس سیاه شمالی به منظور تحلیل ساختاری مورد بررسی قرار گرفته است. در این راستا برش‌های عرضی ساختاری از تاقدیس مورد مطالعه با استفاده از برداشت‌های صحرایی و بر پایه داده‌های چاه، خط لرزه‌ای و برش‌های چینه‌شناسی روز مینی ترسیم گردید. بر پایه تحلیل‌های هندسی انجام شده به روش (Mitra, 2002)، تاقدیس سیاه شمالی در رد چین‌های فراکنشی گسلیده متقارن قرار گرفت. برای تحلیل جنبشی تاقدیس یاد شده از روش (Poblet and McClay, 1996) استفاده شد و نتایج به دست آمده بیانگر آن است که هندسه تاقدیس سیاه شمالی همانند هندسه چین‌های فراکنشی ارائه شده به وسیله (Dahlestrom 1990) می‌باشد و از این‌رو فرگشت جنبشی آن بر مبنای مدل (Poblet and McClay, 1996) معتبر است.

**واژه‌های کلیدی:** تاقدیس سیاه شمالی، برش ساختاری، چین فراکنشی، کمربند چین-راندگی زاگرس

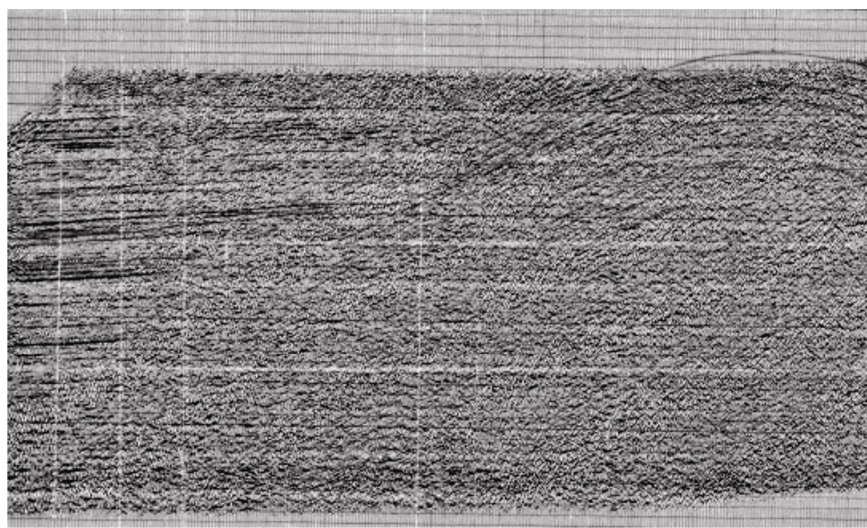
تاقدیس‌های چاهپیر و کوتاه، و در امتداد جنوب- خاور به تاقدیس کوه سیاه محدود می‌شود. و در خاور گسل کازرون واقع شده است (گزارش ۱۹۶۰) (شکل ۱). در هسته تاقدیس سیاه شمالی سازنده‌های گچساران و آسماری رخنمون سطحی دارند. بعد ساختمان در رخنمون سطحی سازند گچساران برابر است با طول ۳۵ و عرض ۵ کیلومتر است. ارتفاع بلندترین نقطه ساختمان از دیدگاه توپوگرافی برابر ۱۰۰۰ متر و ارتفاع بلندترین نقطه ساختمان از دیدگاه ساختمانی ۸۵۰ متر است (گزارش ۱۸۵۶، ۱۹۶۰). با توجه به آنکه اطلاعات زیرسطحی مناسبی مانند داده چاه اکتشافی از این تاقدیس وجود ندارد و همچنین اطلاعات لرزه‌ای ضعیفی از این تاقدیس وجود دارد (شکل ۲)، تنها راه دستیابی به این مهم و بررسی وضعیت ساختاری تاقدیس، استفاده از برداشت‌های صحرایی در قالب تحلیل هندسی و جنبشی آن می‌باشد. برای این منظور، ضخامت سازنده‌ها از برش‌های چینه‌شناسی روزمینی و نزدیک‌ترین چاه‌های اکتشافی حفاری شده (کوه سیاه و کوتاه) به وسیله شرکت ملی نفت ایران، استخراج شد.

## مقدمه

اکثر مخازن هیدروکربنی در کمربند چین- راندگی زاگرس در ساختمان‌های تاقدیسی متمرکز می- باشد. برای مطالعات اکتشافی، درک فضایی از این ساختمان‌ها (با استفاده از تلفیق داده‌های سطحی و زیرسطحی) یکی از اساسی‌ترین مراحل محسوب می‌شود. در این مقاله تاقدیس سیاه شمالی واقع در پهنه فارس ساحلی به منظور تحلیل الگوی ساختاری مورد مطالعه قرار گرفته است. تاقدیس سیاه شمالی در حدود ۱۰ کیلومتری باختر شهرستان برازجان در استان بوشهر واقع شده است. تاقدیسی با آزیمoot اثر سطح محوری ۱۵۲ درجه می‌باشد که شیب یال شمالی آن از ۲۰-۶۰ درجه به سمت شمال‌خاور و یال جنوبی آن از ۳۵-۶۰ درجه به سمت جنوب‌باختر متغیر می- باشد. تاقدیس سیاه شمالی در محدوده چهارگوش ۱:۱۰۰۰۰۰ ۱:۲۵۰۰۰۰ کازرون و دو ورقه ۱:۱۰۰۰۰۰ برازجان و فامور در فاصله طول‌های جغرافیایی ۱۵° ۵۱' و ۳۰° ۵۱' خاوری و عرض‌های جغرافیایی ۱۵° ۲۹' و ۵۵° ۲۸' شمالی قرار گرفته است. ساختار مورد مطالعه در این گستره از شمال به تاقدیس‌های گیسان و از جنوب‌باختر به



شکل ۱- تاقدیس مورد مطالعه و موقعیت آن نسبت به ساختمان‌های مجاور.



شکل ۲- خط لرزه‌ای رانده شده (R6461) و تفسیر آن، همان‌گونه که در تصویر مشاهده می‌شود وضعیت ساختمان سیاه شمالی در افق‌های پایین‌تر مورد سوال است (برگرفته از گزارش شماره سال ۱۹۶۰ شرکت ملی نفت ایران، مدیریت اکتشاف).

ت) هندسه تاقدیس‌ها در برش‌های زمین‌شناسی با استفاده از اطلاعات نقشه‌های زمین‌شناسی موجود و مشخصات هندسی لایه‌بندی (امتداد و شیب) که در پیمایش‌های صحرایی اندازه‌گیری شده است، بازسازی گردیده است.

ث) ترسیم برش‌های زمین‌شناسی با تلاش در جهت حفظ ضخامت سازندها و طول آنها به وسیله نرم‌افزار Auto Cad انجام شد.

برای تشخیص وضعیت محور و سطح محوری چین، اطلاعات مربوط به لایه‌بندی‌ها در یال شمالی و جنوبی تاقدیس بر روی استریوونت پیاده و استریوگرام‌های مربوطه تهیه شده است (شکل ۵). همچنین به جهت خلاصه‌نویسی و تسهیل دسترسی به اطلاعات، مشخصات و پارامترهای هندسی برش‌ها در یک جدول تدوین شده است (جدول ۱). از آنجایی که بخش وسیعی از ساختمان سیاه شمالی به وسیله سازند شکل‌پذیر گچساران پوشیده شده (شکل ۴) و برداشت‌های ساختاری از این واحد غیرقابل اعتماد است. بنابراین اطلاع از چگونگی وضعیت لایه‌ها در افق‌های پایین‌تر مورد سوال می‌باشد. از این‌رو برش-

### روش کار

بر پایه برداشت‌های صحرایی انجام گرفته (شکل ۳) در مسیرهای پیمایش، ۳ برش ساختاری عرضی به طور تقریب عمود بر تاقدیس ترسیم گردید. این برش‌های ساختاری از جنوب‌خاور به شمال‌باخته با نام‌های 'AA' تا 'CC' مشخص شده‌اند (شکل ۴). نکات مورد استفاده در ترسیم برش‌های ساختمانی به شرح زیر است:

الف) این برش‌ها با استفاده از الگوی شکن<sup>۱</sup> و با استفاده از تعیین پهنه‌های شیب<sup>۲</sup> و ترسیم سطح

های محوری پهنه‌ها بازسازی گردیده است.

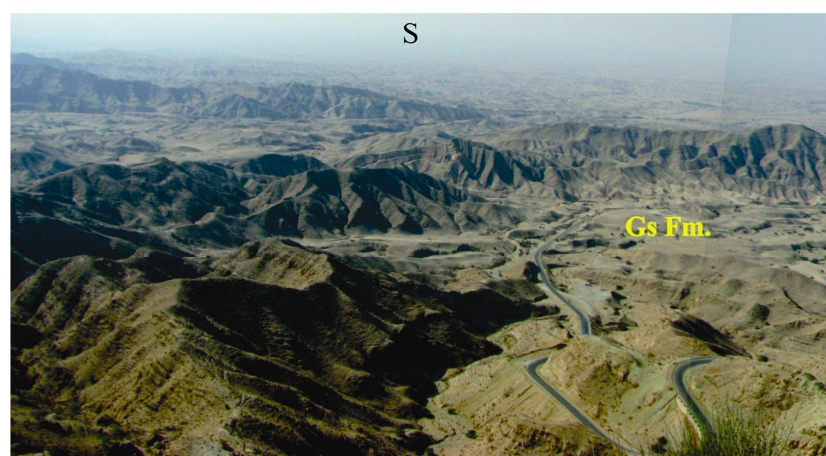
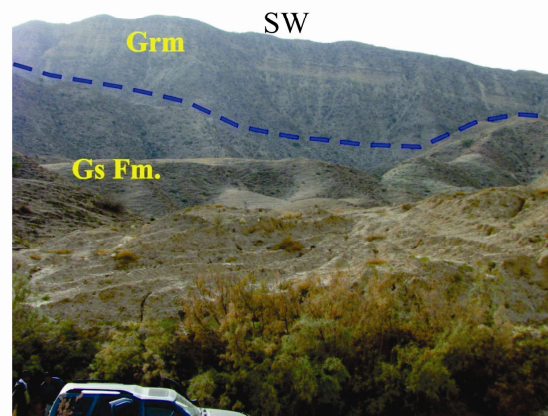
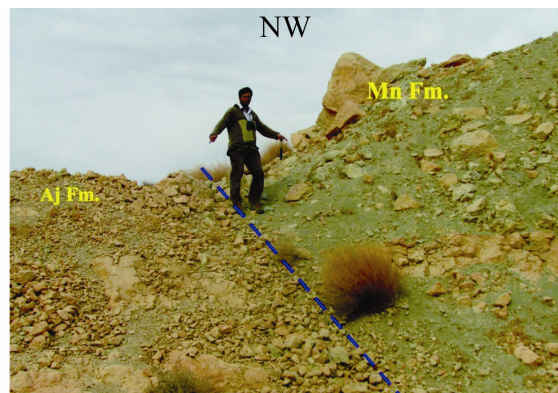
ب) ضخامت‌های چینه‌شناسی مورد استفاده در ترسیم برش، برای سازنده‌های حفاری شده از چاه و برای سازنده‌های دارای رخنمون، از نزدیک‌ترین برش‌های چینه‌شناسی روز مینی استخراج شده است. از آنجایی که توالی پالئوزوئیک‌زیرین در هیچ یک از چاه‌های حفاری شده گزارش نشده است مجموع ضخامت این بخش بر پایه مطالعات پیشین حدود ۳۰۰۰ متر در نظر گرفته شده است.

1 -Kink method

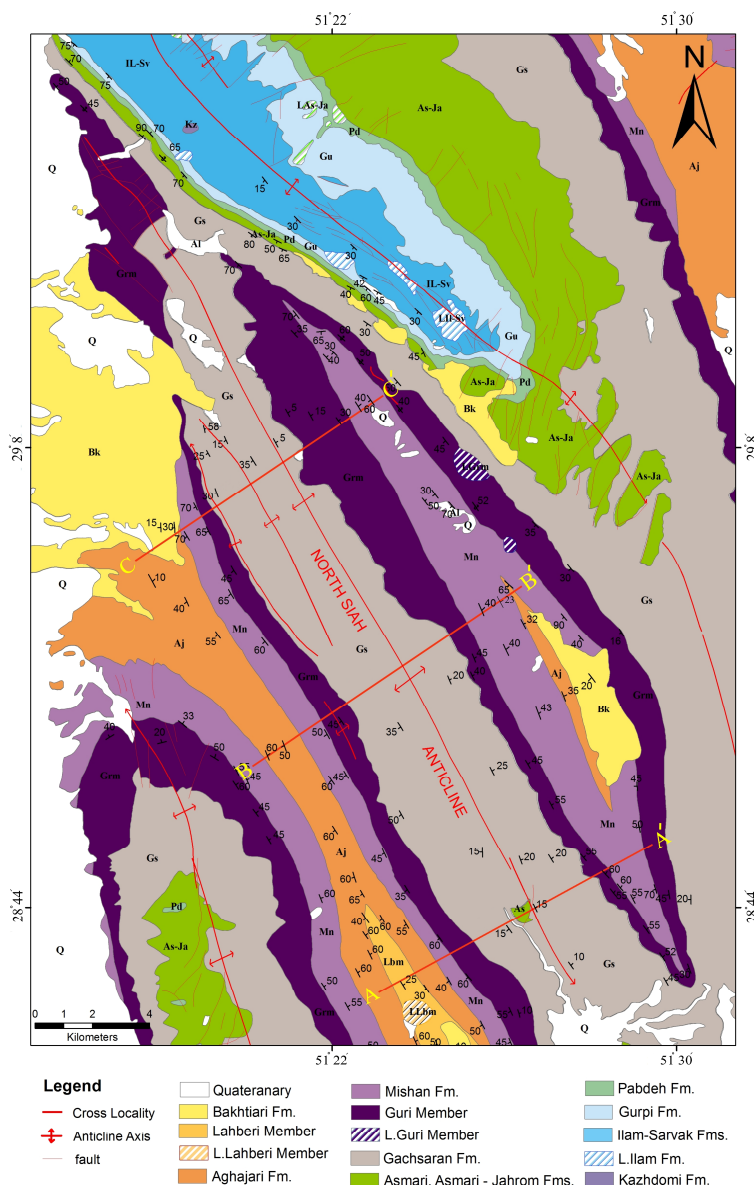
2 -Dip domains

سیاه شمالی باشد.

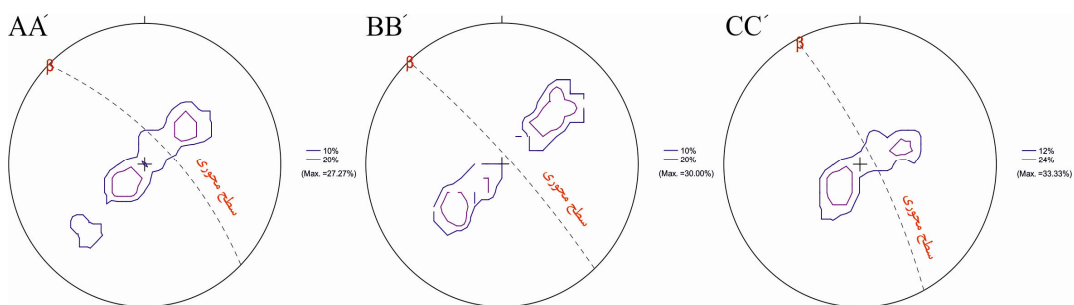
های ترسیمی در این پژوهش می‌تواند یکی از سناریوهای موجود برای تحلیل ساختاری تاقدیس



شکل ۳- نمایی از سازند گچساران (Gs Fm.)، بخش گوری (Grm)، سازند میشان (Mn Fm.) و سازند آغاجاری (Aj Fm.) در هسته و یال‌های تاقدیس سیاه شمالی.



شکل ۴- نقشه زمین شناسی تاقدیس سیاه شمالی که محل برش‌های ساختاری عرضی بر روی آن مشخص شده است  
(برگرفته از نقشه‌های ۱:۱۰۰۰۰۰ برازجان و فامور، شرکت ملی نفت ایران، ۱۹۷۷).



شکل ۵- استریوگرام های تهیه شده برای برش‌های AA', BB', CC'

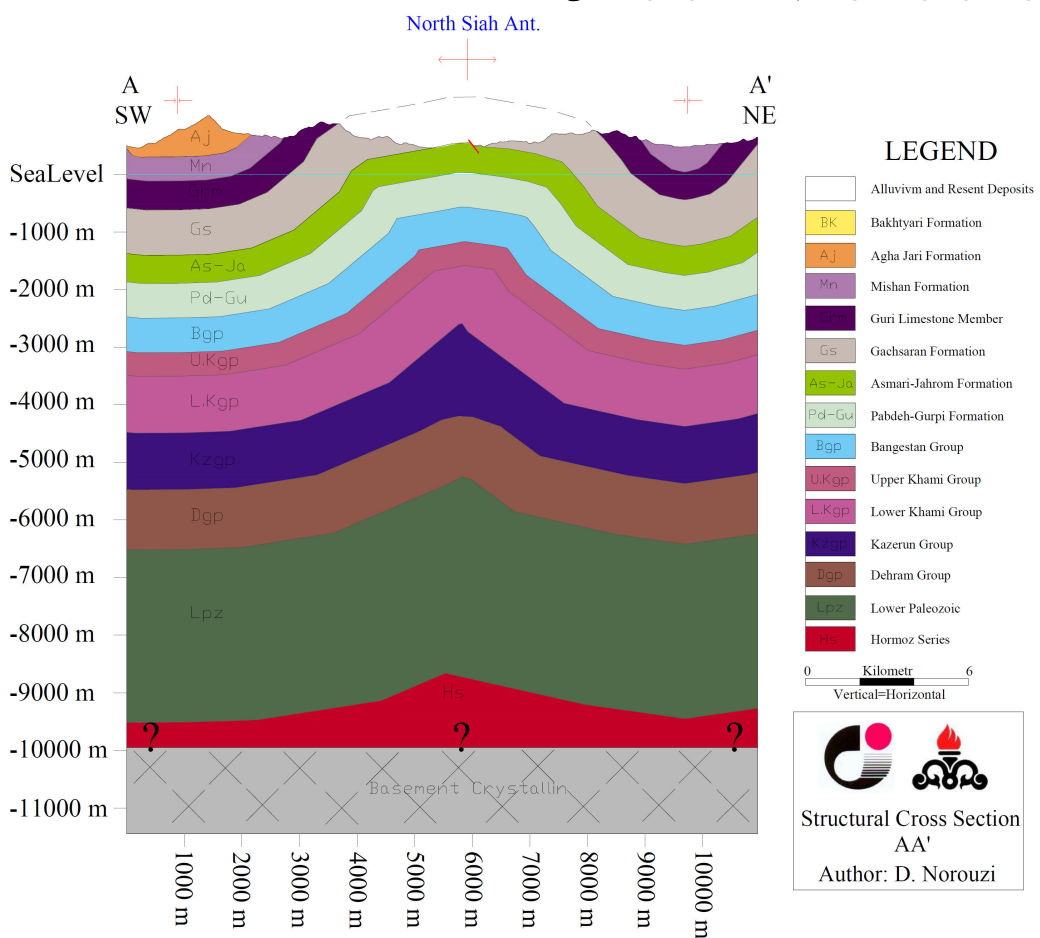
جدول ۱- مشخصات و پارامترهای هندسی تاقدیس سیاه شمالی در برش‌های ترسیمی

زاویه بین‌بالی (درجه) (γ)	وضعیت محور (روند-میل)	طول برش (Km)	راستای برش	نام برش
60	0-315	10/94	N 66 E	AA'
80	0-317	11/45	N 64 E	BB'
40	3-333	10/51	N 63 E	CC'

تاقدیس دارای شیب عادی به سمت شمال خاور می‌باشند و در یال جنوبی نیز شیب‌های عادی به سمت جنوب باخترا نشان می‌دهند (شکل ۶).

#### برش ساختاری عرضی 'AA'

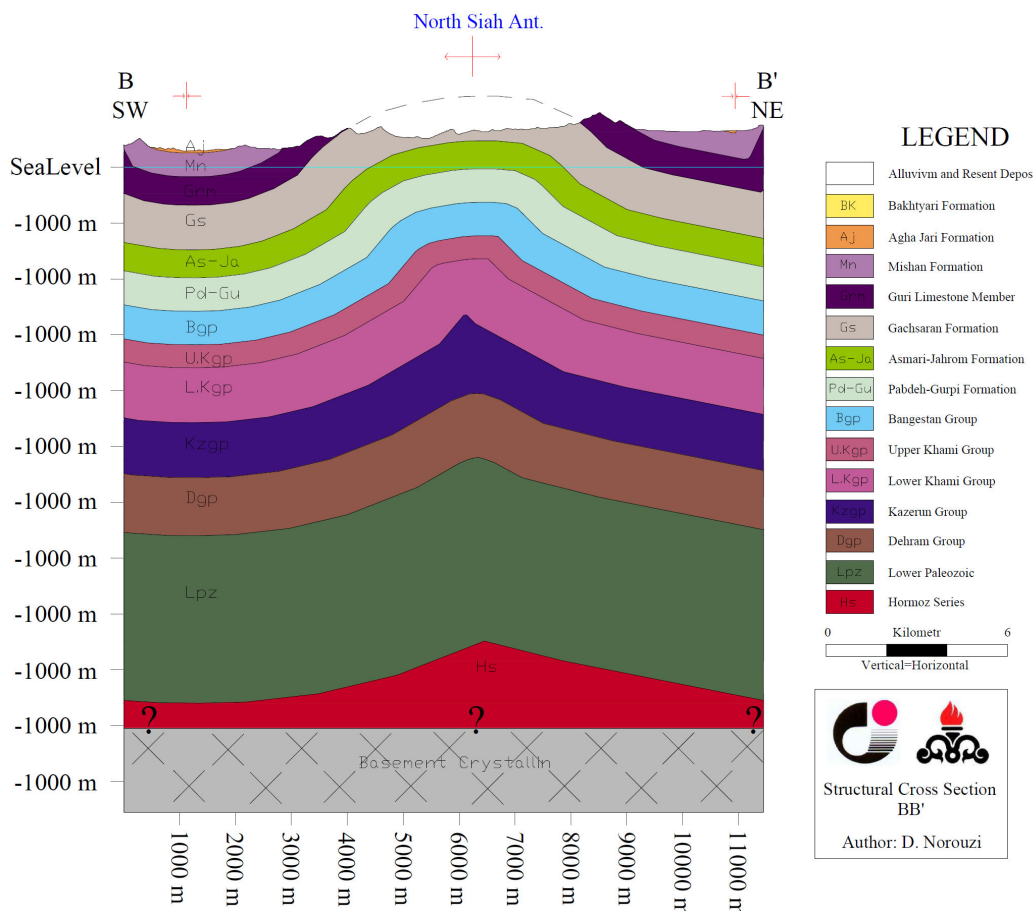
در هسته تاقدیس سیاه شمالی در این برش سازند آسماری و سازند پلاستیک گچساران رخنمون دارند. در این مسیر تمام لایه‌ها در یال شمالی



شکل ۶- برش عرضی ساختاری 'AA'، برای مشاهده محل برش و راهنمای واحدها به شکل ۴ مراجعه شود عادی به سمت شمال خاور می‌باشند و در یال جنوبی نیز شیب‌های عادی به سمت جنوب باخترا نشان می‌دهند (شکل ۷).

#### برش ساختاری عرضی 'BB'

در هسته تاقدیس سیاه شمالی در این برش سازند پلاستیک گچساران رخنمون دارد. در این مسیر تمام لایه‌ها در پهلوی شمالی تاقدیس دارای شیب



شکل ۷- برش عرضی ساختاری BB'، برای مشاهده محل برش و راهنمای واحدها به شکل ۴ مراجعه شود.

در مناطقی که اطلاعات کافی وجود نداشته باشد، ممکن است اشتباه رخ دهد. ایشان با ذکر ویژگی‌های کلیدی چین‌های پیشروی گسلی و همچنین ویژگی‌های چین‌های فراکنشی گسلیده، این دو نوع چین‌خوردگی را با هم مقایسه کرده است. به این صورت که چین‌های پیشروی گسلی در واحدهای دارای لایه‌بندی نازک، لیتولوژی نسبتاً همگن و تعداد زیاد سطوح لایه‌بندی به وجود می‌آیند.

همچنین بیان می‌کند که برای یک ساختار، فقط بر پایه اطلاعات سطحی و اطلاعات زیرسطحی ناکافی، هر دو مدل چین‌های پیشروی گسلی و چین‌های فراکنشی گسلیده را می‌توان در نظر گرفت و انتخاب تفسیر نهایی به اطلاعات

## برش ساختاری عرضی 'CC'

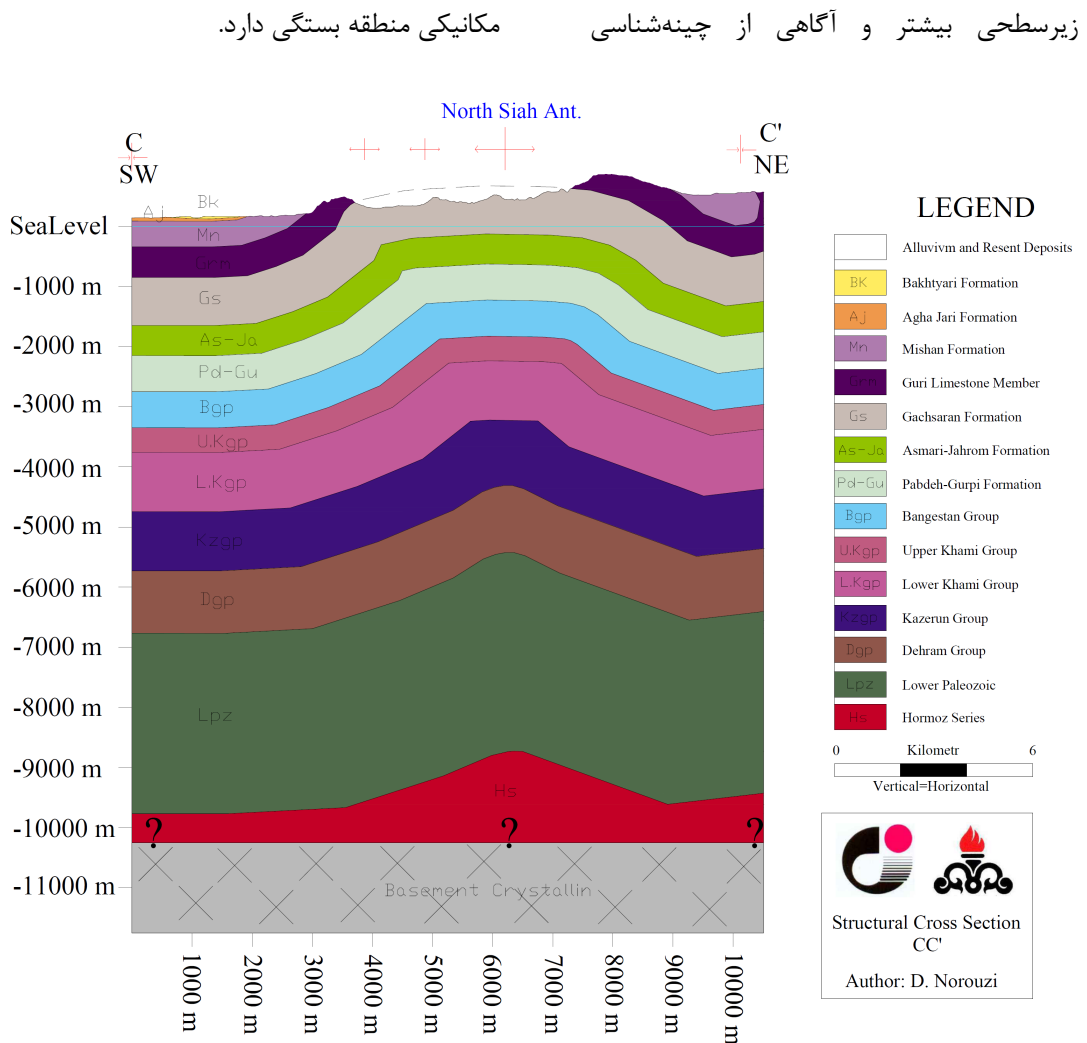
در هسته تاقدیس سیاه شمالی در این برش سازند پلاستیک گچساران رخمنون دارند. در این مسیر تمام لایه‌ها در یال شمالی تاقدیس دارای شیب عادی به سمت شمال‌خاور می‌باشند و در یال جنوبی نیز شیب‌های عادی به سمت جنوب‌باخته را نشان می‌دهند (شکل ۸).

## بحث

میترا (Mitra, 2002) با معرفی چین‌های فراکنشی گسلیده<sup>1</sup>، اشاره می‌کند که این چین‌ها از نظر ظاهری همانند چین‌های پیشروی گسلی<sup>2</sup> می‌باشند و به همین علت در تفسیر هندسه چین

1 -faulted detachment folds

2 -fault propagation folds

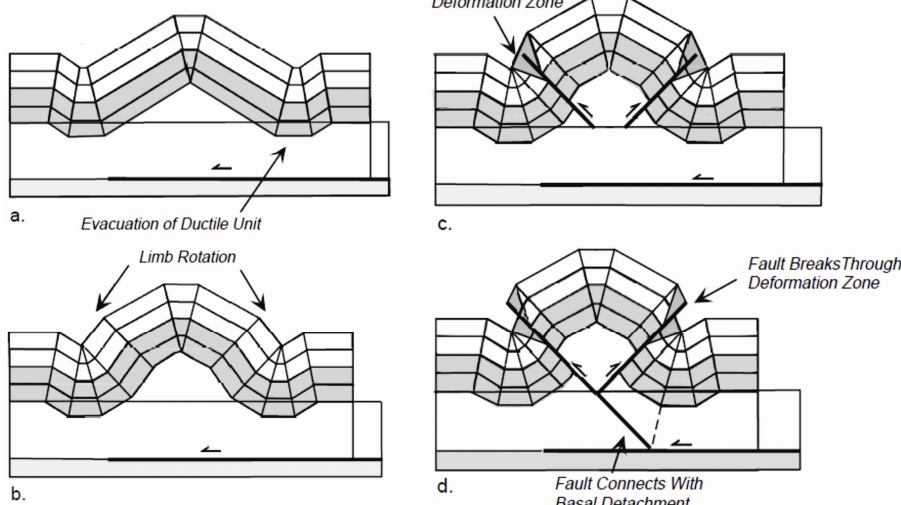


شکل ۸- برش عرضی ساختاری' CC، برای مشاهده محل برش و راهنمای واحدها به شکل ۴ مراجعه شود. (شکل ۹b). به دلیل تقارن نسبی تاقدیس، هر دو یال تاقدیس دچار یک میزان دگریختی می‌شوند، پیشوی گسل‌ها در بخش‌های پرشیب هر دو یال به صورت همزمان صورت می‌گیرد. این فرآیند منجر به شکل‌گیری یک ساختمان فراجسته متقارن<sup>۱</sup> می‌شود که با دو گسل که به طرف یکدیگر شیب دارند محصور شده است (شکل ۹c). سرانجام یکی از دو گسل به سطح فراکنشی قاعده‌ای متصل شده و رشد متقارن آینده چین را

### الگوی جنبشی فرگشت چین‌های فراکنشی گسلیده متقارن

بر پایه این الگوی جنبشی، وجود یک سطح قاعده‌ای فراکنشی افقی (Davis and Engelder, 1985) با قوام اصطکاکی نسبتاً پایین در قاعده توالی رسوبی سبب می‌شود که در مراحل اولیه چین خوردگی، تاقدیس متقارنی که با دو ناویدیس هماندازه در طرفین آن احاطه شده است شکل بگیرد (شکل ۹a). افزایش میزان کوتاه‌شدنگی موجب افزایش سطح تاقدیس و کاهش سطح ناویدیس‌های احاطه‌کننده آن می‌شود

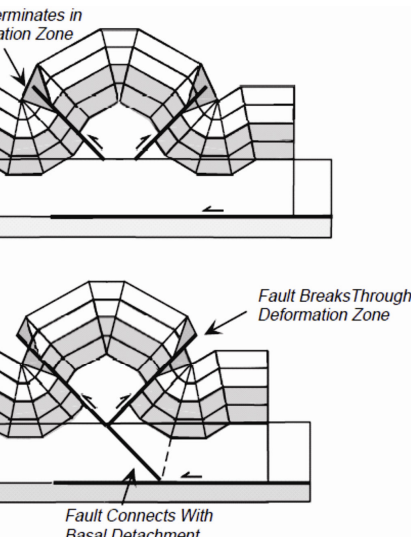
اصلی پایان می‌یابد (شکل ۹d).



شکل ۹- الگوی جنبشی فرگشت چین‌های فراکنشی گسلیده متقارن (Mitra, 2002)

چین فراکنشی با افزایش طول یال‌ها و ثابت ماندن شیب آنها شکل می‌گیرد (شکل ۱۰). در مدل دوم که به وسیله دسیتر (De Sitter, 1956) عنوان گردیده چین فراکنشی با افزایش شیب یال‌ها و ثابت ماندن طول آنها به وجود می‌آید (شکل ۱۰). در مدل سوم که به وسیله دالستروم (Dahlestrom, 1990) ارائه گردیده رشد چین فراکنشی بر مبنای قانون ثابت بودن حجم<sup>۲</sup> لایه‌های گرانرو و پرقوم<sup>۳</sup> و با افزایش تدریجی طول و شیب یال‌های چین شکل می‌گیرد (شکل ۱۰). پابلت و مک‌کلی (Pablot and McClay 1996) باور دارند که تحول جنبشی چین‌های فراکنشی در غالب کمریندهای چین-راندگی به طور عمده سازگار بر مدل سوم می‌باشند. زیرا مدل‌های اول و دوم به دلیل تغییر در مساحت گستره شکل‌پذیر<sup>۴</sup> چین از نظر تحول جنبشی امکان‌پذیر نبوده و لذا قابل قبول نمی‌باشد. چرا که در فرآیند فرگشت چین فراکنشی لایه شکل‌پذیر از پایین‌ترین بخش ناویدس به

کنترل می‌کند و گسل دیگر با اتصال به گسل



بر پایه شباهت هندسه و آگاهی از چینه‌شناسی گستره مورد مطالعه که به صورت توالی متناوب و ناهمگن است، الگوی چین‌خوردگی تاقدیس سیاه شمالی بسیار نزدیک به الگوی ارائه شده به وسیله میتراء (Mitra, 2002) می‌باشد با این تفاوت که گسل‌های تعديل‌کننده<sup>۱</sup> چین در مرحله سوم از الگوی فرگشتی، گسل‌های ثانویه‌ای هستند که یا حداقل در رخمنون سطحی تاقدیس سیاه شمالی قابل دیدن نمی‌باشند و یا تاقدیس سیاه شمالی به آن مرحله از فرگشت برای ایجاد این گسل‌ها نرسیده است.

حال برای تایید و یا عدم تایید تحلیل انجام گرفته بر پایه مدل میتراء (Mitra, 2002)، ساختمان سیاه شمالی را بر پایه مدل پابلت و مک‌کلی (Pablot and McClay 1996) که تاکنون جامع‌ترین مدل جنبشی ارائه شده برای چین‌های فراکنشی است، مورد بررسی قرار می‌دهیم. ایشان در این مدل سه شکل اصلی از چین‌خوردگی فراکنشی را تحلیل نموده‌اند (شکل ۱۰).

بر پایه مدل اول که توسط میشل و ودوارد

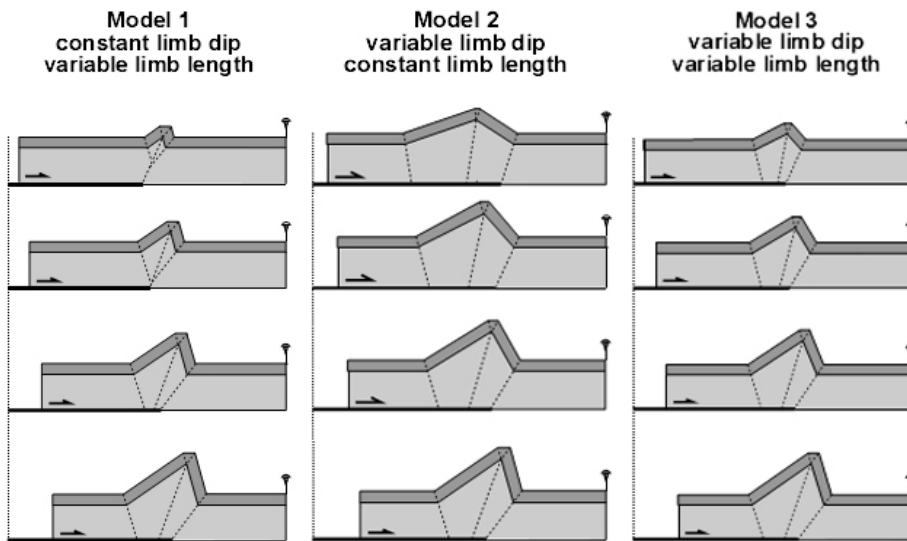
2- Low of conservation of volume

3 -competent

4- excess area

1-Accommodated

سمت بالاترین بخش تاقدیس مهاجرت می‌نماید تا چین مت مرکز به وجود آید.



شکل ۱۰- سه مدل ممکن برای فرگشت پیشرونده یک چین فراکنشی (برگرفته از Poblet and McClay, 1996).

مقادیر کوتاهشده‌گی به دست آمده از اندازه‌گیری‌های برش ساختاری از تاقدیس مطابقت داشته باشد بیانگر آن است که هندسه و تحول جنبشی چین مورد نظر سازگار بر مدل می‌باشد. برای این منظور می‌بایستی برشی از چین، عمود بر محور آن ترسیم و به جهت آسانی محاسبه، هندسه چین به صورت یکی از هندسه‌های جناغی، شکن و یا جعبه‌ای فرض شود و اندازه‌گیری زاویه بین یال‌ها بدون در نظر گرفتن تمایل سطح فراکنش<sup>۳</sup> صورت گیرد. برای تعیین سازوکار جنبشی، نیاز به تحلیل هندسی چین‌های فراکنشی می‌باشد. برای تحلیل هندسی، نیاز به دانستن متغیرهایی که در شکل ۱۱ آورده شده می‌باشد. این متغیرها را می‌توان از برش عرضی ترسیمی اندازه‌گیری نمود. برای این منظور اطلاعات موجود در جدول ۲ را از برش BB<sup>۴</sup> ترسیم شده برای تاقدیس سیاه شمالی (به دلیل نزدیکی به محل خط لرزه‌ای رانده شده) و بر پایه سطح بالایی سازند پرقوم آسماری محاسبه گردید.

پابلت و مک‌کلی (1996) برای تحلیل هندسی چین‌های فراکنشی به وجود آمده بر پایه فرگشت جنبشی مدل دالستروم (1990) نمودارهای را معرفی نموده‌اند و باور دارند چنان‌چه میزان شبیه‌یال‌های چین و نسبت سینوسی آنها اندازه‌گیری شود و بر پایه طول پیش‌یال<sup>۱</sup> و پس‌یال<sup>۲</sup> نرمالیزه شود، می‌تواند جهت محاسبه میزان کوتاهشده‌گی لایه پرقوم بالای لایه فراکنشی<sup>۳</sup> شکل‌پذیر که چین در آن توسعه یافته، استفاده گردد. مقدار کوتاهشده‌گی واقعی بر مبنای نمودار، برای پیش‌یال و پس‌یال، از رابطه ۱ حاصل می‌شود.

(رابطه ۱)

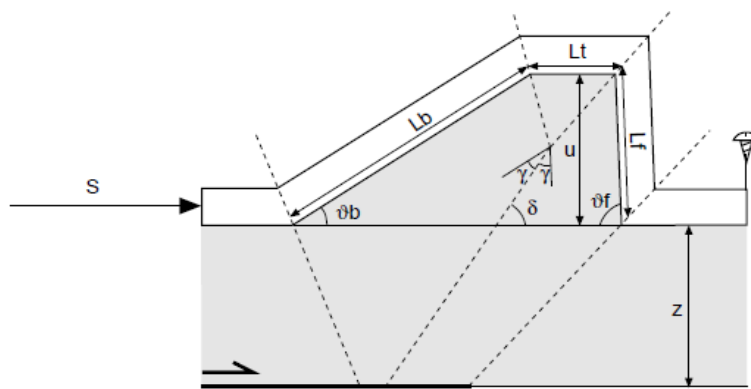
$$S = \frac{\text{Calculated Shortening Lf (Lb)}}{10}$$

با جایگزینی کوتاهشده‌گی بدست آمده از نمودارها به جای کوتاهشده‌گی در معادله بالا به صورت جداگانه برای پیش‌یال و پس‌یال، مقدار کوتاهشده‌گی واقعی بدست می‌آید. چنان‌چه این میزان با

1 -fore limb

2- back limb

3 -detachment layer



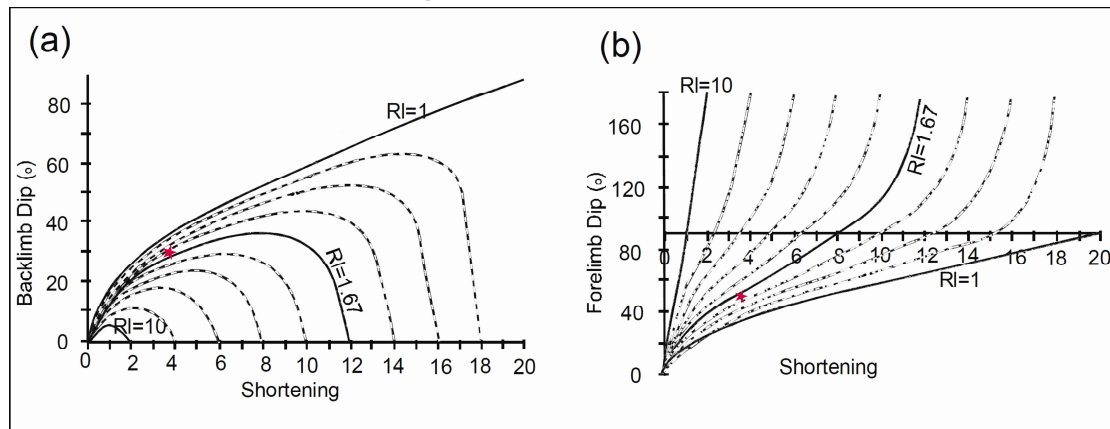
شکل ۱۱- پارامترهای هندسی مورد استفاده برای توصیف جنبشی یک چین فراکنشی (برگرفته از Poblet and Mc Clay, 1996).

جدول ۲- پارامترهای هندسی تاقدیس سیاه شمالی در برش BB' جهت تحلیل هندسی آن به روش پابلت و مک‌کلی (Poblet and McCly, 1996)

پارامترهای هندسی	طول پس بال (Lb) به متر	طول پس بال (Lf) به متر	نسبت پس بال به درجه (Vf)	نسبت پس بال به درجه (Vb)	RI= $\frac{\sin(Vf)}{\sin(Vb)}$	کوتاه شدنگی محاسبه شده از روی نمودار، نرمایزه بر پایه پیش بال به متر	کوتاه شدنگی محاسبه شده از روی نمودار، نرمایزه بر پایه پیش بال به متر	کوتاه شدنگی محاسبه شده از روی نمودار، نرمایزه بر پایه پیش بال به متر	آری برش ساختاری
BB' تاقدیس سیاه شمالی	۵۰۲۰	۴۴۸۰	۳۰	۵۰	۱/۵۳	۱۷۵۷	۱۷۰۲	۱۶۵۰	آری برش ساختاری

این بیانگر آن است که هندسه تاقدیس سیاه شمالی مشابه هندسه چین‌های فراکنشی ارائه شده به وسیله دالستروم (1990) می‌باشد و از این‌رو هندسه چین فراکنشی و فرگشت جنبشی آن بر پایه مدل پابلت و مک‌کلی برای تاقدیس سیاه شمالی معتبر است.

با توجه به نتیجه‌های به دست آمده از روابط و نمودارهای پابلت و مک‌کلی و برش عرضی ساختاری ترسیم شده، میزان کوتاه‌شدنگی محاسبه شده از روی برش عرضی ساختاری BB' با میزان برآورده از روی نمودارهای مربوطه سازگاری زیادی داشته (جدول ۲ و شکل ۱۱) و



شکل ۱۲- نمودارهای تعیین پارامترهای هندسی چین‌های فراکنشی (برگرفته از Poblet and McClay, 1996). منحنی‌های نمودارها منطبق بر مقادیر RI به ترتیب از ۱، ۱.۱۱، ۱.۲۵، ۱.۴۳، ۱.۶۷، ۲، ۲.۵۰، ۳.۳۳ و ۱۰ می‌باشند. موقعیت تاقدیس سیاه شمالی بر پایه پارامترهای هندسی آن (جدول ۲) به صورت ستاره در نمودارها نمایش داده شده است.

نشان می‌دهد که هندسه تاقدیس سیاه شمالی مشابه هندسه چین‌های فراکنشی ارائه شده به وسیله دالستروم (1990) می‌باشد و از این‌رو هندسه چین فراکنشی و فرگشت جنبشی آن بر مبنای مدل پابلت و مک‌کلی برای این تاقدیس‌ها معتبر است.

### نتیجه گیری

بر پایه الگوی‌های چین‌خوردگی ارائه شده به وسیله میتراء (Mitra, 2002) برای چین‌های فراکنشی، تاقدیس سیاه شمالی دارای الگوی بسیار نزدیک به چین‌های فراکنشی گسلیده متقارن می‌باشد و همچنین نتایج به دست آمده از روابط و نمودارهای پابلت و مک‌کلی (1996)

### منابع

- folding. AAPG, Bulletin, V. 74, No. 3, 336-344.
- Davis, D.M, and Engelder, T., (1985), The role of salt in fold and thrust belts. Tectonophysics, Vol. 119, PP. 67 – 68.
- De Sitter, L.U., (1956). Structural Geology. McGraw-Hill. London.
- Mitchell, M.M., and N. B Woodward, (1988), Kink detachment fold in the southwest Montana fold and thrust belt: Geology, v. 16, p. 162-165.
- Mitra, S., (2002). Structural models of faulted detachment folds. AAPG Bull., 86(9), 1673-1694.
- Poblet, J.A. and McClay, K.R., (1996). Geometry and kinematics of single layer detachment folds. AAPG Bulletin, 80, 1085-1109.
- گزارش شماره GR 1856 . شرکت ملی نفت ایران، مدیریت اکتشاف.
- گزارش شماره GR 1960 . شرکت ملی نفت ایران، مدیریت اکتشاف.
- نقشه ۱:۱۰۰۰۰۰ برازجان، ۱۹۷۳ . شرکت ملی نفت ایران، مدیریت اکتشاف.
- نقشه ۱:۱۰۰۰۰۰ فامور، ۱۹۷۷ . شرکت ملی نفت ایران، مدیریت اکتشاف.
- Dahlstrom, C.D.A., (1990). Geometric constraints derived from the law of conservation of volume and applied to evolutionary models for detachment